УДК 551.465.55

ГЕОФИЗИКА

В. М. КАМЕНКОВИЧ, В. А. МИТРОФАНОВ

ОБ ОДНОМ СЛУЧАЕ ВЛИЯНИЯ РЕЛЬЕФА ДНА НА ТЕЧЕНИЯ В ОКЕАНЕ

(Представлено академиком Л. М. Бреховских 4 1 1971)

 Ветровые течения в баротропном океане переменной глубины Н описываются уравнением (в безразмерной форме)

$$\frac{\varepsilon}{H} \Delta \psi + \frac{\partial}{\partial y} \left(\frac{f}{H} \right) \frac{\partial \psi}{\partial x} - \frac{\partial}{\partial x} \left(\frac{f}{H} \right) \frac{\partial \psi}{\partial y} = \operatorname{rot}_{z} \frac{\tau}{H} . \tag{1}$$

. Здесь ψ — функция тока; f — параметр Кориолиса; ось x направлена на восток, ось y — на север; τ — вектор касательного напряжения ветра на поверхности океана; ϵ — малый параметр, характеризующий эффект трения в океане; Δ — оператор Лапласа.

Уравнение (1) обычно рассматривается в замкнутой области, на границе которой функция ψ задается. Нетрудно показать, что при $\frac{\partial}{\partial y} (f/H) > 0$ пограничный слой может существовать только у западного берега океана, а при $\frac{\partial}{\partial y} (f/H) < 0$ — только у восточного берега. Поэтому представляет интерес изучение задачи

$$\varepsilon \Delta \psi - y \partial \psi / \partial x = G(y), \quad 0 \le x \le 1, \quad -1/2 \le y \le 1/2;$$
 (2)

$$\psi = 0$$
 при $x = 0$; 1 и $y = -\frac{1}{2}$; $\frac{1}{2}$; (3)

G(y) — известная функция, G(-1/2) = G(1/2) = 0. Если $f = f_0 + y$, то уравнение (2) получается из (1) при $H = H_0 e^y (1 + y/f_0)^{1-f_0}$. Подобная задача обсуждалась качественно в (1); численное решение для не очень малых ε было получено в (2).

2. Будем искать асимптотическое разложение решения задачи (2), (3) при малых в. Особенность задачи — в возникновении внутреннего пограничного слоя около линии у = 0. Разобьем наш квадрат на области (рис. 1), в каждой из которых функция ф разлагается в соответствующий асимптотический ряд. Ограничиваясь первым членом такого ряда, имеем:

в области

$$\begin{array}{l} 1^-\colon \psi = \psi_1^-(x,y) = G_{\rm I}(y)\,(1-x)/y;\, 0 < x \leqslant 1;\, -^{1}/_2 \leqslant y < 0;\\ 1^+\colon \psi = \psi_1^+(x,y) = -G(y)\,x/y;\, 0 \leqslant x < 1;\, 0 < y \leqslant^{1}/_2;\\ 2^-\colon \psi = \psi_2^-(\xi_-,y);\, \xi_- = x/\varepsilon;\, 0 \leqslant \xi_- < \infty;\, -^{1}/_2 \leqslant y < 0;\\ 2^+\colon \psi = \psi_2^+(\xi_+,y);\, \xi_+ = (1-x)/\varepsilon;\, 0 \leqslant \xi_+ < \infty;\, 0 < y \leqslant^{1}/_2;\\ 3^-\colon \psi = \varepsilon^{-1/_3}\psi_3^-(x,\eta);\, \eta = y/\varepsilon^{1/_3};\, 0 < x \leqslant 1;\, -\infty < \eta \leqslant 0;\\ 3^+\colon \psi = \varepsilon^{-1/_3}\psi_3^+(x,\eta);\, 0 \leqslant x < 1;\, 0 \leqslant \eta < \infty;\\ 4^-\colon \psi = \varepsilon^{-1/_3}\psi_4^-(\xi_-,\eta);\, \xi_- = x/\varepsilon^{1/_3};\, 0 \leqslant \xi_- < \infty;\, -\infty < \eta \leqslant 0;\\ 4^+\colon \psi = \varepsilon^{-1/_3}\psi_4^+(\xi_+,\eta);\, \xi_+ = (1-x)/\varepsilon^{1/_3};\, 0 \leqslant \xi_+ < \infty;\, 0 \leqslant \eta < \infty. \end{array}$$

Обычным путем из (2), (3) получаем следующие уравнения и граничные условия, справедливые в соответствующих областях:

$$\partial^2 \psi_2^{\pm} / \partial \xi_{\pm}^2 \pm y \, \partial \psi_2^{\pm} / \partial \xi_{\pm} = 0, \quad \psi_2^{\pm} (0, y) = 0;$$
 (4)

$$\partial^{2} \psi_{4}^{\pm} / \partial \zeta_{\pm}^{2} + \eta \partial \psi_{4}^{\pm} / \partial \zeta_{\pm} = 0, \quad \psi_{4}^{\pm} (0, \eta) = 0;$$
 (5)

$$\partial^2 \psi_3^{\pm} / \partial \eta^2 - \eta \partial \psi_3^{\pm} / \partial x = G(0);$$
 (6)

$$\psi_3^-(1, \eta) = 0, \quad \psi_3^+(0, \eta) = 0.$$
 (7)

Задачи (4) и (5) легко решаются:

$$\psi_2^{\pm} = M^{\pm}(y) (1 - e^{\mp y\xi_{\pm}}), \quad \psi_4^{\pm} = N^{\pm}(\eta) (1 - e^{\mp \eta \zeta_{\pm}}),$$
 (8)

где функции M±, N± подлежат определению.

3. Условия сращивания асимптотических разложений (3,4) дают до-

полнительные граничные условия.

Сращивание асимптотических разложений в областях 1 и 2. Начнем с 1- и 2-. Вводим «промежуточную» переменную $t=x/\varepsilon^{\omega}$, $0<\omega<1$. Тогда при $t\sim 1$, $y\sim 1$ и $\varepsilon\to 0$ имеем $\psi_1^-(\varepsilon^{\omega}t,y)\sim \psi_2^-(\varepsilon^{\omega-1}t,y)$. Из этого условия находим $M^-(y)$. Аналогично проводится сращивание 1+ и 2+ и определяется $M^+(y)$. Получаем

$$M^{\pm}(y) = \mp G(y) / y. \tag{9}$$

Сращивание асимптотических разложений в областях 1 и 3. Начнем 1- и 3-. «Промежуточная» переменная $t=y/\epsilon^{\omega}$, $0<\omega<^{1}/s$. Тогда при $x\sim 1$, $t\sim 1$ и $\epsilon\to 0$ имеем $\psi_{1}^{-}(x,\epsilon^{\omega}t)\sim \epsilon^{-1/s}\psi_{3}^{-}(x,\epsilon^{\omega-1/s}t)$. Из этого условия находим, что

$$\psi_3^-(x,\eta) \sim G(0)(1-x)/\eta$$
 при $\eta \rightarrow -\infty$. (10)

Сращивание 1+ и 3+ проводится аналогично и приводит к условию

$$\psi_3^+(x,\eta) \sim -G(0) x/\eta$$
 при $\eta \rightarrow \infty$. (11)

Сращивание асимптотических разложений в областях 3 и 4. Начнем с 3- и 4-. «Промежуточная» переменная $t = x/\varepsilon^{\omega}$, $0 < \omega < \frac{2}{3}$. Тогда при $t \sim 1$, $\eta \sim 1$ и $\varepsilon \to 0$ имеем $\psi_3^-(\varepsilon^{\omega}t, \eta) \sim \psi_4^-(\varepsilon^{\omega-2/3}t, \eta)$. Из этого условия находим $N^-(\eta)$. Аналогично проводится сращивание 3+ и 4+ и определяется $N^+(\eta)$. Имеем

$$N^{-}(\eta) = \psi_{3}^{-}(0, \eta), \quad N^{+}(\eta) = \psi_{3}^{+}(1, \eta).$$
 (12)

Таким образом, задача построения асимптотического разложения решения задачи (2), (3) свелась к определению функций ψ_i^{\pm} , удовлетворяющих уравнению (6), условиям (7), (10), (11) и условию склейки при $\eta=0,\ 0< x<1$:

$$\psi_3^-(x,0) = \psi_3^+(x,0), \quad \frac{\partial \psi_3^-}{\partial \eta}(x,0) = \frac{\partial \psi_3^+}{\partial \eta}(x,0).$$
 (13)

Мы покажем, что такие функции могут быть найдены.

Проверим, что после определения функций ψ_s^{\pm} , асимптотические разложения в областях 1 и 4, 2 и 4 сращиваются. Действительно, для областей 1- и 4- при $\xi_- \sim 1$, $t \sim 1$ ($t = y / \varepsilon^{\alpha}$, $0 < \omega < \frac{1}{3}$) и $\varepsilon \to 0$ $\psi_t^{-}(\varepsilon^{2/3}\xi_-, \varepsilon^{\alpha}t) \sim \varepsilon^{-1/3}\psi_t^{-}(\xi_-, \varepsilon^{\alpha-1/3}t)$. Для областей 2- и 4- при $\xi_- \sim 1$, $t \sim 1$ и $\varepsilon \to 0$ $\psi_2^{-}(\xi_-, \varepsilon^{\alpha}t) \sim \varepsilon^{-1/3}\psi_t^{-}(\varepsilon^{1/3}\xi_-, \varepsilon^{\alpha-1/3}t)$.

Области 1+ и 4+, 2+ и 4+ рассматриваются аналогично.

4. Рассмотрим вспомогательную задачу определения функции $\varphi(x, y)$, удовлетворяющей при $x \ge 0$, $y \ge 0$ уравнению

$$\partial^2 \varphi / \partial y^2 - y \, \partial \varphi / \partial x = 1 \tag{14}$$

и условиям

$$\varphi(0,y) = 0, \quad \frac{\partial \varphi}{\partial y}(x,0) = u(x); \tag{15}$$

$$\varphi(x, y) \sim -x/y$$
 при $y \to \infty$, (16)

где u(x) считается заданной. Функцию φ представим как $\varphi = \varphi_1 + \varphi_2$, где φ_1 удовлетворяет уравнению (14) и условиям (15), (16) при $u(x) \equiv 0$, а φ_2 удовлетворяет однородному уравнению (14), условиям (15) и экспоненциально затухает при больших y. Функция φ_1 ищется в виде

$$\varphi_1(x, y) = y^2 F(\sigma), \ \sigma = -y^3 / 9x, \quad -\infty < \sigma \le 0.$$
 (17)

Подставляя (17) в (14), получим для $F(\sigma)$ обыкновенное дифференциальное уравнение, решение которого нетрудно выразить через вырожденную гипергеометрическую функцию $\Phi(a, c, \sigma)$ (см. (5)). Окончательно находим

$$\varphi_{1}(x,y) = -\frac{3^{1/s}\Gamma(1/s)}{2\Gamma(2/s)}x^{2/s}\Phi\left(-2/s, 2/s; -\frac{y^{3}}{9x}\right) + 1/sy^{2}. \tag{18}$$

Для построения функции φ_2 сделаем преобразование Лапласа по x. Обозначая через $\tilde{\varphi}_2(p,y)$ и $\tilde{u}(p)$ образы $\varphi_2(x,y)$ и u(x) соответственно, получим

$$\widetilde{\varphi}_{2} = -\frac{3^{5/6}\Gamma(\sqrt{4/2})}{\pi} y^{1/2} \widetilde{u}(p) p^{-1/6} K_{1/8} (2/3 \sqrt{p} y^{3/2}), \qquad (19)$$

где $K_{/_3}(z)$ — функция Макдональда. Совершая обратное преобразование, находим

$$\varphi_{2}(x, y) = -\frac{3^{\frac{1}{8}\Gamma(\frac{1}{3})}}{2\pi} \int_{0}^{x} \frac{u(t)}{(x-t)^{\frac{1}{8}}} \exp\left[-\frac{1}{9}y^{3}/(x-t)\right] dt. \tag{20}$$

Формулы (18) и (20) дают решение задачи (14) — (16).

5. Обозначим теперь функцию $\partial \psi_3^+/\partial \eta$ при $\eta=0$ через G(0)u(x); тогда, используя решение задачи (14)—(16) и второе условие (13), находим

$$\psi_{3}^{+}(x,\eta) = -\frac{3^{1/6}\Gamma(1/3)}{2\pi}G(0)\left\{\int_{0}^{x} \frac{u(t)}{(x-t)^{3/3}}\exp\left[-\frac{1}{9}\eta^{3}/(x-t)\right]dt + \frac{3^{3/6}\pi}{\Gamma(1/2)}x^{2/6}\Phi\left(-\frac{2}{3},\frac{2}{3};-\frac{\eta^{3}}{9x}\right)\right\} + \frac{1}{2}G(0)\eta^{2};$$

$$\psi_{3}^{-}(x,\eta) = -\frac{3^{1/6}\Gamma(1/2)}{2\pi}G(0)\left\{-\int_{0}^{1} \frac{u(t)}{(t-x)^{3/4}}\exp\left[\frac{1}{9}\eta^{3}/(t-x)\right]dt + \frac{1}{2}G(0)\eta^{3}\right\} + \frac{1}{2}G(0)\eta^{3} + \frac{1}{2}G(0)\eta^{3}$$

$$+\frac{3^{1/\epsilon_{\pi}}}{\Gamma(^{2}/_{3})}(1-x)^{5/s}\Phi\left(-^{2}/_{3},^{2}/_{3};\frac{\eta^{3}}{9(1-x)}\right)+^{1}/_{2}G(0)\eta^{2},$$
 (22)

Отсюда в силу первого условия (13) получаем для определения u(x) обобщенное интегральное уравнение Абеля

$$\int_{0}^{1} \frac{u(t) dt}{|x-t|^{4/s}} = \frac{3^{4/s}\pi}{\Gamma(^{2}/s)} \left[(1-x)^{4/s} - x^{2/s} \right], \quad 0 < x < 1.$$
 (23)

6. Для определения u(x) из (23) удобно рассмотреть сначала решение уравнения

$$\int_{0}^{1} \frac{v(t) dt}{|x-t|^{\alpha}} = x^{\beta}, \quad 0 < x < 1, \quad 0 < \alpha < 1, \quad \alpha + \beta > 0.$$
 (24)

Будем следовать методу, предложенному в $(^{6}, ^{7})$. Используя специальное интегральное представление функции $|x-t|^{-\alpha}$, перепишем уравнение (24) в виде

$$\begin{split} &\int\limits_0^x (x-s)^{-(1+\alpha)/2} \Big\{ s^{\alpha-1} \!\! \int\limits_s^1 \!\! \frac{v\left(t\right)}{t^{(\alpha-1)/2}} \times \\ &\times (t-s)^{-(1+\alpha)/2} \! dt \Big\} \, d \; s = \end{split}$$

$$= \frac{\Gamma(\frac{1}{2} - \alpha/2) \Gamma(\alpha)}{\Gamma(\frac{1}{2} + \alpha/2)} x^{(\alpha-1)/2+\beta}. (25)$$

Из (25) следует, что решение уравнения (24) сводится к последовательному решению двух обыкновенных интегральных уравнений Абеля. Используя известную формулу для решения такой задачи (см., например, (8)), после несложных преобразований получим

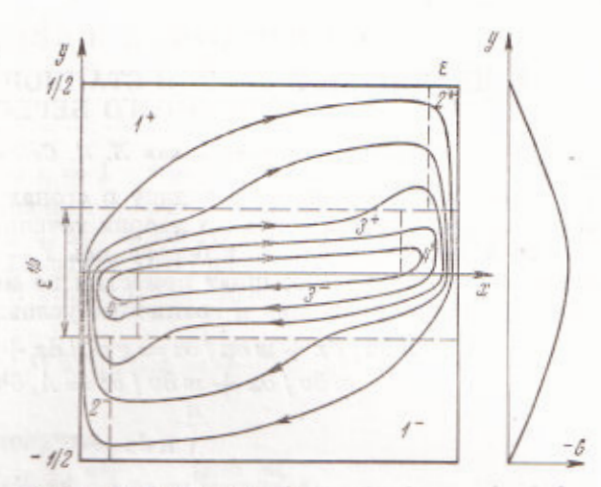


Рис. 1. Разбиение на области $1\pm$, $2\pm$, $3\pm$, $4\pm$ (п.2) и схематическое изображение линий тока для задачи (2), (3) при функции G(y), указанной справа (п. 7)

$$\frac{2^{\alpha-1}\cos\frac{\pi\alpha}{2}}{\pi^{\frac{1}{2}}} \frac{\Gamma(\alpha/2 + \frac{1}{2} + \beta)\Gamma(\alpha/2)}{\Gamma(\alpha + \beta)} \left[x\left(1 - x\right)\right]^{\frac{\alpha-1}{2}} \times F\left(-\beta, 1; \frac{1+\alpha}{2}; 1 - x\right), \tag{26}$$

где F(a, b; c; z) — гипергеометрическая функция (5).

Формула (26) позволяет сразу выписать решение уравнения (23):

$$u(x) = ({}^{3}/_{4})^{5}/_{4} \frac{\Gamma({}^{1}/_{3})}{\pi} [x(1-x)]^{-1/_{6}} [F(-{}^{2}/_{3},1;{}^{5}/_{6};x) - F(-{}^{2}/_{3},1;{}^{5}/_{6};1-x)].$$
(27)

Формулы (21), (22), (27) дают решение задачи об определении функций $\psi_3^{\pm}(x,\eta)$.

7. Найденное асимптотическое разложение решения задачи (2), (3) позволяет при простых функциях G(y) легко строить схемы линий тока. Пример такого построения приведен на рис. 1. Отметим отрыв погранич-

ных течений от берегов x=0 и x=1 при y=0. В заключение заметим, что условие G(-1/2)=G(1/2)=0 было принято, чтобы избежать рассмотрения пограничных слоев толщиной $\sim \varepsilon^{\frac{\eta_2}{2}}$ около границ y=-1/2; 1/2. Анализ таких пограничных слоев не вызывает затруднений.

Институт океанологии им. П. П. Ширшова Академии наук СССР Москва Поступило 25 XII 1970

ЦИТИРОВАННАЯ ЛИТЕРАТУРА

¹ P. Welander, Tellus, 20, № 1, 1 (1968). ² А. М. Ильин, М. М. Силкина, Морские гидрофизические исследования, 5 (1971). ³ М. Ван-Дайк, Методы возмущений в механике жидкости, М., 1967. ⁴ J. D. Cole, Perturbation Methods in Applied Mathematics, 1968. ⁵ Г. Бейтмен, А. Эрдейи, Высшие транспендентные функции, 1, М., 1965. ⁶ Н. И. Ахиезер, В. А. Щербина, Уч. зап. Харьковск. гос. унив., 80, Зап. матем. отд. физ.-мат. фак. Харьковск. гос. унив. и Харьков, матем. общ., 25, сер. 4, 191 (1957). ⁷ W. E. Williams, Proc. Cambr. Phil. Soc., 59, 3, 589 (1963). ⁸ Ф. Д. Гахов, Краевые задачи, М., 1963.